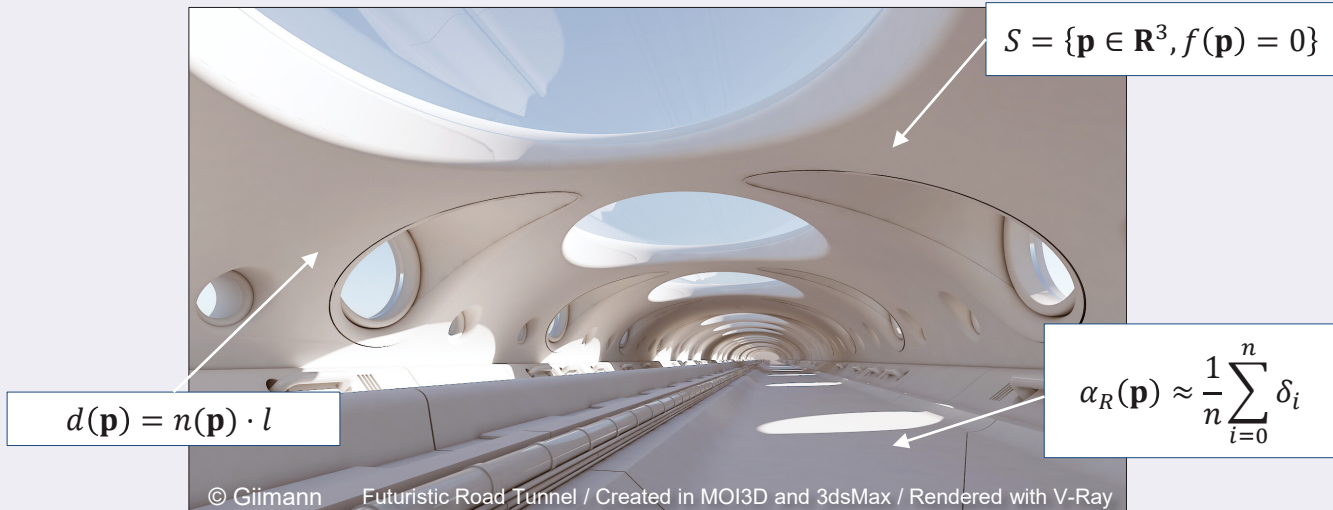


Computer Graphics

From mathematics ...



... to the screen

E. Galin
Université Lyon 1

Computer Graphics

Overview
Deformations
Curves
Surfaces

Computer Graphics

Fundamentals

Surfaces d'élévation

Introduction

Parametric surfaces

Bezier surfaces

Surfaces d'élévation

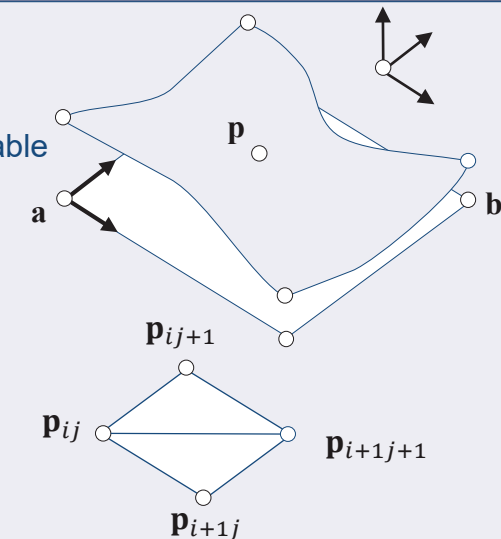
Patch de Monge

Equation de type $z = h(x, y)$ où $(x, y) \in [x_a, x_b] \times [y_a, y_b]$

Paramétrage équivalent sur $(u, v) \in [0,1]^2$ par changement de variable

$$\begin{aligned}x &= x \\y &= y \\z &= h(x, y)\end{aligned}$$

$$\begin{aligned}x &= (1 - u)x_a + ux_b \\y &= (1 - v)y_a + vy_b \\z &= h(u, v)\end{aligned}$$



Discrétisation régulière

Génération d'un maillage de n^2 sommets et de $2(n - 1)^2$ triangles

Tableau de sommets \mathbf{v}

```
For i ∈ [0, n - 1]
  For j ∈ [0, n - 1]
    u = i/(n - 1) and v = j/(n - 1)
    Calculate x, y, and z = h(u, v)
    Set v[i n + j] to pij = (x, y, z)
```

```
For i ∈ [0, n - 2]
  For j ∈ [0, n - 2]
    Add triangles as integer triples
    i n + j, (i + 1) n + j, (i + 1) n + j + 1
    i n + j, (i + 1) n + j + 1, i n + j + 1
```

Géométrie G

Topologie T



eric.galin@liris.cnrs.fr

<http://liris.cnrs.fr/~egalin>

Courbure

Introduction

Parametric surfaces

Bezier surfaces

Analyse des surfaces d'élévation

Patch de Monge $\mathbf{p}(x, y) = (x, y, h(x, y))$ où $(x, y) \in \Omega \subset \mathbb{R}^2$

$$\kappa = \frac{h_{xx}h_{yy} - h_{xy}^2}{1 + h_x^2 + h_y^2}$$

Courbure Gaussienne

Dérivées partielles successives

$$\mu = \frac{(1 + h_y^2)h_{xx} - 2h_xh_yh_{xy} + (1 + h_x^2)h_{yy}}{2(1 + h_x^2 + h_y^2)^{3/2}}$$

Courbure moyenne



eric.galin@liris.cnrs.fr

<http://liris.cnrs.fr/~egalin>

Surfaces de révolution

Introduction

Parametric surfaces

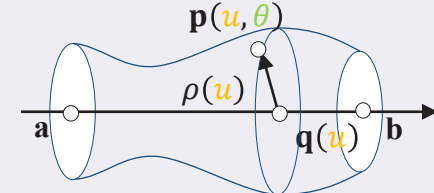
Bezier surfaces

Surfaces de révolution

Courbe Γ : $r = \rho(u)$, $u \in [0,1]$ et révolution autour d'un axe
Paramétrage sur $u \in [0,1]$

$$\begin{aligned}\mathbf{q}(u) &= (1 - u)\mathbf{a} + u\mathbf{b} \\ \mathbf{p}(u, \theta) &= \mathbf{q}(u) + \rho(u) (\cos \theta \mathbf{x} + \sin \theta \mathbf{y})\end{aligned}$$

Paramétrisation rationnelle alternative



$$\frac{1 - v^2}{1 + v^2} \mathbf{x} + \frac{2v}{1 + v^2} \mathbf{y}$$

Discrétisation régulière

Génération de m sommets le long de l'axe, n points par cercle
Total de $m n$ sommets et $2(m - 1)(n - 1)$ triangles

```
For i ∈ [0, m - 1]
  u = i/(n - 1)
  Calculate q
  For j ∈ [0, n - 1]
    Let θ = 2jπ/(n - 1) ∈ [0, 2π]
    Set v[i n + j] to p(θ)
```

Géométrie G

Extrusion

Balayage d'un contour le long d'une courbe directrice



eric.galin@liris.cnrs.fr
<http://liris.cnrs.fr/~egalin>

Computer Graphics

Tensor Product Surfaces

Surfaces de Bézier

Introduction

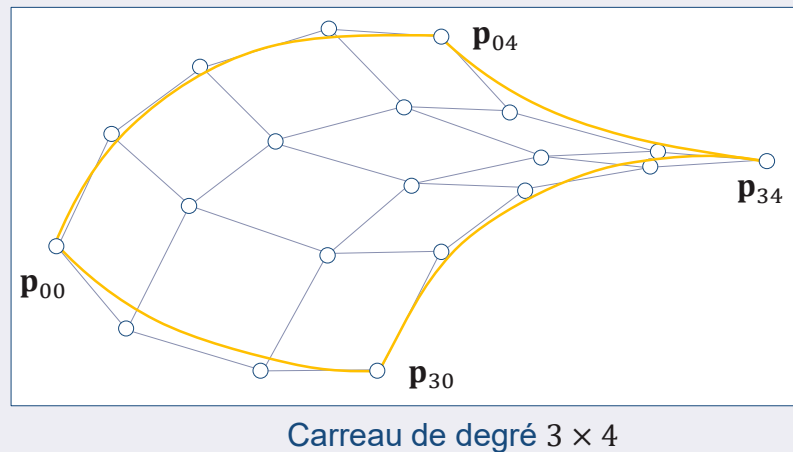
Parametric surfaces

Bezier surfaces

Carreaux

Surface produit tensoriel sur la base des polynômes de Bernstein

Points de contrôle \mathbf{p}_{ij}



Carreau de degré 3×4

$$(u, v) \in [0,1]^2$$

$$\mathbf{p}(u, v) = \sum_{i=0}^m \sum_{j=0}^n B_i^m(u) B_j^n(v) \mathbf{p}_{ij}$$

$$B_i^m(u) = C_m^i u^i (1-u)^{m-i}$$

Propriétés

Enveloppe convexe
Enveloppe englobante $S \subset C(\mathbf{p}_{ij}) \subset B(\mathbf{p}_{ij})$
Normale

$$\mathbf{n}(u, v) = \frac{\partial \mathbf{p}}{\partial u}(u, v) \times \frac{\partial \mathbf{p}}{\partial v}(u, v)$$

$$\frac{\partial \mathbf{p}}{\partial u}(u, v) = \sum_{i=0}^{m-1} \sum_{j=0}^n m(\mathbf{p}_{i+1j} - \mathbf{p}_{ij}) B_i^{m-1}(u) B_j^n(v)$$

Surfaces de Bézier

Introduction

Parametric surfaces

Bezier surfaces

Discrétisation régulière

Même algorithme que pour un patch de Monge

Génération d'un maillage de n^2 sommets et de $2(n - 1)^2$ triangles

Tableau de sommets \mathbf{v}

```
For  $i \in [0, n - 1]$ 
  For  $j \in [0, n - 1]$ 
     $u = i/(n - 1)$  and  $v = j/(n - 1)$ 
    Calculate  $\mathbf{p}(u, v)$ 
    Set  $\mathbf{v}[i \ n + j]$  to  $\mathbf{p}(u, v)$ 
```

Géométrie G

```
For  $i \in [0, n - 2]$ 
  For  $j \in [0, n - 2]$ 
    Add triangles as integer triples
     $i \ n + j, (i + 1) \ n + j, (i + 1) \ n + j + 1$ 
     $i \ n + j, (i + 1) \ n + j + 1, i \ n + j + 1$ 
```

Topologie T

Discrétisation adaptative

Raffinement progressif selon la courbure



eric.galin@liris.cnrs.fr

<http://liris.cnrs.fr/~egalin>

Triangles de Bézier

Introduction

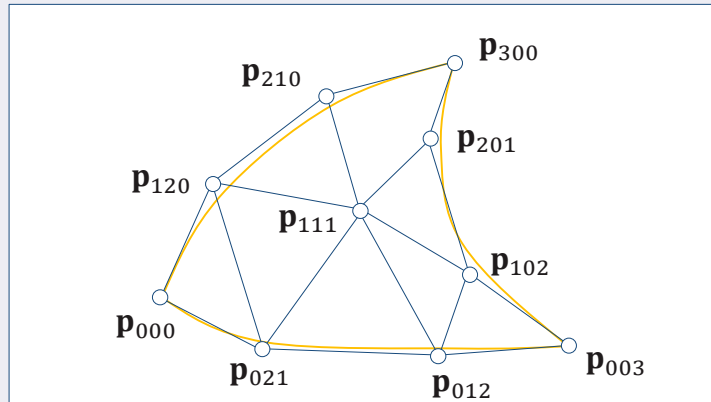
Parametric surfaces

Bezier surfaces

Patchs triangulaires

Points de contrôle \mathbf{p}_{ijk}

Possibilité de passage à une forme rectangulaire dégénérée



$$(u, v, w) \geq 0 \text{ et } u + v + w = 1$$

$$\mathbf{p}(u, v, w) = \sum_{\substack{i+j+k \geq 0 \\ i+j+k=n}} B_{ijk}^n(u, v, w) \mathbf{p}_{ijk}$$

$$B_{ijk}^n(u, v, w) = \frac{n!}{i! j! k!} u^i v^j w^k$$

$$\begin{array}{l} u \geq 0 \\ v \geq 0 \\ w \geq 0 \\ u + v + w \leq 1 \end{array}$$

Point Normal Triangles

Introduction

Parametric surfaces

Bezier surfaces

Point normal triangles

Triangles de Bézier incurvés

$$\mathbf{b}_{300} = \mathbf{p}_1$$

$$\mathbf{b}_{030} = \mathbf{p}_2$$

$$\mathbf{b}_{003} = \mathbf{p}_3$$

$$\mathbf{b}_{012} = \frac{1}{3}(2\mathbf{p}_3 + \mathbf{p}_2 - \omega_{32}\mathbf{n}_3)$$

$$\mathbf{b}_{021} = \frac{1}{3}(2\mathbf{p}_2 + \mathbf{p}_3 - \omega_{23}\mathbf{n}_2)$$

$$\mathbf{b}_{102} = \frac{1}{3}(2\mathbf{p}_3 + \mathbf{p}_1 - \omega_{31}\mathbf{n}_3)$$

$$\mathbf{b}_{201} = \frac{1}{3}(2\mathbf{p}_1 + \mathbf{p}_3 - \omega_{13}\mathbf{n}_1)$$

$$\mathbf{b}_{120} = \frac{1}{3}(2\mathbf{p}_2 + \mathbf{p}_1 - \omega_{21}\mathbf{n}_2)$$

$$\mathbf{b}_{210} = \frac{1}{3}(2\mathbf{p}_1 + \mathbf{p}_2 - \omega_{12}\mathbf{n}_1)$$

$$\omega_{ij} = (\mathbf{p}_j - \mathbf{p}_i) \cdot \mathbf{n}_i$$

$$\mathbf{b}_{111} = \mathbf{E} + \frac{1}{2}(\mathbf{E} - \mathbf{V})$$

$$\mathbf{E} = \frac{1}{6}(\mathbf{b}_{012} + \mathbf{b}_{021} + \mathbf{b}_{102} + \mathbf{b}_{201} + \mathbf{b}_{120} + \mathbf{b}_{210})$$

$$\mathbf{V} = \frac{1}{3}(\mathbf{p}_1 + \mathbf{p}_2 + \mathbf{p}_3)$$



Université Claude Bernard Lyon 1

eric.galin@liris.cnrs.fr

<http://liris.cnrs.fr/~egalin>

A. Vlachos, J. Peters, C. Boyd, J. Mitchell. Curved PN triangles. ACM. 159–166, 2001.